



СООБЩЕНИЯ
ОБЪЕДИНЕННОГО
ИНСТИТУТА
ЯДЕРНЫХ
ИССЛЕДОВАНИЙ
ДУБНА

СЗУЗб
Б-732

24/12-75

1 - 8393

664/2-75

В.И.Богатин, Е.Л.Григорьев, Ю.В.Кангрополь,
В.Ф.Литвин, О.В.Ложкин, Ю.П.Яковлев

СИСТЕМАТИКА СЕЧЕНИЙ ФРАГМЕНТАЦИИ

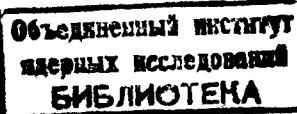
1974

ЛАБОРАТОРИЯ ЯДЕРНЫХ ПРОБЛЕМ

1 - 8393

В.И.Богатин,¹ Е.Л.Григорьев, Ю.В.Кангрополь,²
В.Ф.Литвин,² О.В.Ложкин, Ю.П.Яковлев²

СИСТЕМАТИКА СЕЧЕНИЙ ФРАГМЕНТАЦИИ



¹ Радиевый институт им. В.Г.Хлопина.

² Ленинградский государственный университет им. А.А.Жданова.

1. ВВЕДЕНИЕ

Изучение явления фрагментации выявило ряд особенностей процессов, протекающих под действием частиц высоких энергий, которые указывают на заметную роль в образовании сложных частиц ядерных состояний, далеких от равновесия /1-3/.

Однако природа неравновесных процессов фрагментации еще не установлена. В значительной мере причиной этого является отсутствие систематики выходов продуктов расщепления ядер. Имеющиеся в литературе попытки построить зависимости выходов фрагментов от массы ядра-мишени оказались малоуспешными, что свидетельствует о существовании связи сечений фрагментации с более детальными свойствами ядра и фрагмента, чем полное число нуклонов.

Следует отметить, что систематика выходов фрагментов может быть полезной при использовании явления фрагментации в других областях науки, таких как космохимия, физика космических лучей, космическая биология, радиохимия, поиски ядер, лежащих на границе стабильности. В этих случаях возможность быстро и с разумной точностью оценить выходы фрагментов могла бы оказаться желательной.

Сейчас можно говорить лишь о начальном этапе создания систематики выходов фрагментов. Если для выходов остаточных ядер уже существует аппроксимация Рудстама /6/, дающая возможность предсказывать эти выходы с точностью до фактора 3, достаточной для ряда приложений, то для фрагментов подобной аппроксимации не существует.

Основные требования, которые мы предъявляем к ис-
комой аппроксимации, сводятся к следующему:

1. Зависимость должна включать минимум данных
о ядре и фрагменте.

2. Формула должна быть простой и удобной для быст-
рых оценок с удовлетворительной точностью.

На данном этапе мы не можем ставить перед собой
цель получить формулу, наилучшим образом совпадаю-
щую с экспериментом во всем доступном изучению
диапазоне масс ядер и фрагментов и энергий первичных
протонов. Эта ограниченность задачи связана с двумя
обстоятельствами:

1. Имеется большой разброс в экспериментальных
данных, которые зачастую позволяют выявить лишь
общий ход, например, функции возбуждения.

2. Мы считаем желательным, ввиду полного отсут-
ствия удовлетворительной теории фрагментации, пока-
зать возможность построения систематики выходов фраг-
ментов и продемонстрировать некоторые проблемы, свя-
занные с измерением полных сечений фрагментации.

2. ВЫБОР ЭМПИРИЧЕСКОЙ ФОРМУЛЫ ДЛЯ АППРОКСИМАЦИИ ПОЛНЫХ СЕЧЕНИЙ ФРАГМЕНТАЦИИ

Для того чтобы подобрать формулу, которая давала
бы оценку полного сечения фрагментации $\sigma_{\text{фр}}$ в
зависимости от числа нейтронов и протонов ядра-мишени
и фрагмента, можно привести некоторые соображения,
учитывающие новые экспериментальные факты, получен-
ные при изучении фрагментации за последнее десятилетие.
Эти соображения основаны не на строгом, в рамках
каких-либо моделей, анализе явления, а лишь служат
как указания на возможные причины появления тех или
иных членов в предлагаемой формуле, подлежащей со-
поставлению с экспериментом.

Упомянутые экспериментальные факты, которые мы
используем при выборе формулы для $\sigma_{\text{фр}}$, сводятся
к следующему:

1. Существует экспоненциальная зависимость отно-
шения выходов фрагментов из двух мишеней-изотопов
от третьей проекции изоспина фрагмента $t_3^{7,8}$.

2. Имеет место зависимость сечения образования
фрагмента от величины третьей проекции изоспина ядра-
мишени $T_3^{7,8}$.

3. При энергиях первичного протона E более
 $0,6 \text{ ГэВ}^{9,10}$ форма спектров фрагментов слабо зависит
как от E , так и, даже для более низких энергий, от
массы A тяжелого или среднего ядра-мишени. Это оз-
начает, что имеет место приблизительное постоянство
т.н. "эффективной температуры" θ , служащей для аппрок-
симации спектра фрагмента.

Далее речь будет идти только о сечениях испускания
основной части фрагментов, т.е. так называемых "испа-
рительных" нуклидов и только при бомбардировке ядер
протонами. Мы будем предполагать, что явление испуска-
ния "испарительных" нуклидов, в основном, связано с
распадом /в том числе и неравновесным/ возбужденного
ядра на два тела.

В с.ц.и. для дифференциального сечения $d\sigma_{\text{фр}}/d\epsilon$
такого процесса можно записать:

$$\frac{d\sigma_{\text{фр}}}{d\epsilon} \sim |M|^2 \rho_f (U - Q - \epsilon) \epsilon^{1/2}, \quad /1/$$

где M - матричный элемент распада $A \rightarrow m_1 + m_2$ ядра
с числом нуклонов A на фрагмент m_2 и ядро-остаток
 m_1 , U - энергия возбуждения ядра A , ϵ - энергия фраг-
мента, Q - энергия отделения фрагмента, ρ_f - плот-
ность уровней ядра m_1 . $|M|^2$ можно выразить через
сечение поглощения фрагмента $\sigma_c(\epsilon)^{5/2}$:

$$|M|^2 \sim \frac{\sigma_c(\epsilon)}{\rho_i(U)} \epsilon^{1/2}, \quad /1'/$$

где ρ_i - плотность уровней ядра A .

Обычно ^{5/} полагают, что $\sigma_c(\epsilon)$ не зависит от

$$\frac{N-Z}{2} = T_3, \quad \frac{n-z}{2} = t_3 \quad \text{и} \quad \text{от} \quad U \quad /здесь N \text{ и } Z - \text{числа}$$

нейтронов и протонов ядра A, n и z - числа нейтронов и протонов фрагмента/. Это означает, что для оценки $|M|^2$ используется оптический потенциал W , а значит, и коэффициент поглощения k_0 , не зависящий от U , T_3 , t_3 . Плотность уровней $\rho(U)$ очень слабо зависит от избытка нейтронов и этой зависимостью можно пренебречь^{/5/}. Поскольку, как следует из результатов работ^{/7,8/}, приближение, использующее независимость k_0 от U , T_3 , t_3 не оправдывается на опыте, а оптический потенциал для нуклонов зависит от изоспинов^{/1/}:

$$W = W_1 + W_2 \frac{(T \cdot t)}{A}, \quad /2/$$

где T - изоспин ядра, t - изоспин нуклона, в формулу^{/1/} следует ввести поправку, учитывающую изменение сечения поглощения $\sigma_c(\epsilon)$ /а значит, и $|M|^2$ / за счет изменения коэффициента поглощения на величину k^+ , зависящую от U , T_3 , t_3 . В приближении $(T \cdot t) = T_3 \cdot t_3$ можно предположить, что поправка k^+ имеет структуру, аналогичную^{/2/}:

$$k^+ = k_1(U, \epsilon, m_1, m_2) + k_2(U, \epsilon, m_1, m_2) \frac{T_{3(1)} \cdot t_3}{m_1 m_2}, \quad /3/$$

где $T_{3(1)} = T_3 - t_3$. В силу симметрии задачи относительно m_1 и m_2 можно записать следующие соотношения:

$$\begin{aligned} k_i(U, \epsilon, m_1, m_2) &= k_i(U, \epsilon, m_2, m_1) \\ k_i &\sim \omega_1(r) \cdot \omega_2(r), \end{aligned} \quad /4/$$

где

$$\omega_j(r) = \begin{cases} \frac{3}{4\pi r_0^3(j)}; & r \leq R_j = r_0(j) m_j^{1/3} \\ 0 & \text{при } r > R_j. \end{cases}$$

Ограничиваюсь анализом случая только S-волны, дополнительное поглощение от k^+ будем определять множителем при $\sigma_c(\epsilon)$

$$\eta^+ = \exp \left\{ \int_0^{\infty} k^+(r) dr \right\} = \exp \left\{ \int_0^{R_1 + R_2} k^+(r) dr \right\},$$

т.е. η^+ будет иметь экспоненциальный характер зависимости от t_3 , имеющей место в эксперименте^{/7,8/}.

Как показано в^{/7/}, зависимость формы спектра фрагмента от T_3 ядра-мишени невелика, и этой зависимостью для оценки полного сечения σ /фр/ в первом приближении следует пренебречь. Можно также предположить, что k_i зависят от m_1 и m_2 , как от

$$\mu = \frac{m_1 m_2}{m_1 + m_2} = \frac{m_1 m_2}{A} \quad - \text{приведенной массы фрагмента.}$$

В этом приближении мы можем получить следующее выражение для поправочного множителя

$$\eta^+ \approx \exp \left\{ \frac{(R_1 + R_2)}{r_0(1)r_0(2)} [a(U, \mu) + b(U, \mu) \frac{T_{3(1)}t_3}{m_1 m_2}] \right\}. \quad /5/$$

Для фрагментов во всех дальнейших вычислениях примем $r_0(2) = 1.4$ и, кроме того, учтем, что величина U есть функция энергии E . Имея это в виду, перепишем формулу^{/5/}:

$$\eta^+ \approx \exp \left\{ \frac{(R_1 + R_2)}{r_0(1)^3} [a(E, \mu) + \beta(E, \mu) \frac{T_{3(1)}t_3}{m_1 m_2}] \right\}, \quad /5'/$$

где коэффициенты a и β подлежат определению из эксперимента.

В приближении $\sigma_c(\epsilon) = \pi r_0^2 A^{2/3} (1 - \frac{B}{\epsilon})$, где $\epsilon \geq B$, а B - кулоновский барьер для фрагмента^{/5/}, и для равновесных значений ρ_f и ρ_i , как известно^{/8,9/}, получаются результаты, противоречащие эксперименту. Обыч-

но отклонения от равновесности формы спектра учитывают введением эффективной температуры θ , значительно превышающей равновесную, т.е. считают, что

$$\rho_f(U-Q-\epsilon)/\rho_i(U) \approx \exp\left\{-\frac{\epsilon+Q}{\theta}\right\}.$$

Тогда, полагая, что зависимость матричного элемента M от U , входящая в k^+ , тоже эффективно учитывает и неравновесность распадающейся системы, для $d\sigma_{\text{фр}}(\epsilon)/d\epsilon$ получим соотношение:

$$\frac{d\sigma_{\text{фр}}(\epsilon)}{d\epsilon} \sim r_0^2 A^{2/3} \frac{\epsilon-B}{\theta^2} \eta^+ \exp\left\{-\frac{(\epsilon+Q)}{\theta}\right\}.$$

Интегрируя /2'/ по ϵ , получим

$$\sigma_{\text{фр}} \sim r_0^2 A^{2/3} \eta^+ f(\text{фр}),$$

где функция $f/\text{фр}/$ учитывает зависимость $\sigma/\text{фр}/$ от $\frac{Q+B}{\theta}$.

Для ядер, лежащих вблизи линии стабильности, величина $Q+B$ как функция (n, z) фрагмента с хорошей точностью сохраняется при изменении (N, Z) ядра-мишени вдоль линии стабильности, т.е. можно считать, что $\exp\{-(Q+B)/\theta\} \approx f/\text{фр}/$.

Для ядер, лежащих далеко от линии стабильности, соотношение $\exp\{-(Q+B)/\theta\} \approx f/\text{фр}/$ может стать слишком грубым для некоторых фрагментов. Для подбора a и β в формуле /2/ мы приняли, что r_0 и $r_{0(1)}$, в соответствии с /12/, в среднем, принимают значения:

- 1,4 - если $A, m_1 \leq 27$
- 1,3 - если $27 \leq A, m_1 \leq 63,5$
- 1,2 - если $63,5 < A, m_1$

/6/

Из рис. 6, где приведены функции возбуждения $\sigma/\text{фр}/$ для ${}^{18}\text{F}$ ($t_3 = 0$), следует, что для коэффициента $a(E, \mu)$ можно предположить /при $E > 0,2 \text{ ГэВ}/$ следующие свойства: $a(E, \mu) < 0$; $|a(E, \mu)|$ уменьшается с ростом E , что позволяет воспользоваться для $a(E, \mu)$ разложением по обратным степеням E :

$$a(E, \mu) = a_0(\mu) + \frac{a_1(\mu)}{E} + \frac{a_2(\mu)}{E^2} + \dots$$

/7/

Ограничиваясь в разложении /7/ первыми двумя членами /что снижает точность при малых E /, из анализа данных по сечениям $\sigma({}^{18}\text{F})$, $\sigma({}^3\text{H})$, $\sigma({}^7\text{Be})/5/$, для коэффициентов a и β получаем следующие оценки:

$$\frac{a(E, \mu)}{\mu} = -(0,0072 \pm 0,0010) - \frac{0,0432 \pm 0,0050}{E} \quad /8/$$

$$\frac{\beta(E, \mu)}{\mu} = +4,32 \pm 0,20.$$

Искомая зависимость, связывающая $\sigma/\text{фр}/$ с N и Z ядра-мишени и (n, z) фрагмента приобретает следующий вид:

$$\sigma(\text{фр}) = r_0^2 A^{2/3} f(\text{фр}) \exp\left\{\mu \frac{R_1 + R_2}{r_{0(1)}^3} [-(0,0072 \pm 0,0010) - \frac{0,0432 \pm 0,0050}{E} + (4,32 \pm 0,20) \frac{T_{3(1)} \cdot t_3}{m_1 + m_2}]\right\} \quad /9/$$

$m_1 + m_2 = A$, $T_{3(1)} = \frac{N-Z}{2} - \frac{n-z}{2}$, $t_3 = \frac{n-z}{2}$ E - в единицах $\text{ГэВ}/$ при значениях r_0 и $r_{0(1)}$, указанных в /6/. При подборе параметров формулы /9/ мы ограничились условием $m_2 \leq \frac{1}{3} A$, что вызвано стремлением считать фрагментом достаточно малую часть исходного ядра.

В табл. I приведены значения $f/\text{фр}/$ для некоторых фрагментов, полученные из сопоставления формулы /9/ с экспериментальными данными для ядер-мишеней, лежащих на линии стабильности /5, 13/. С этими значениями $f/\text{фр}/$ были вычислены функции возбуждения $\sigma/\text{фр}/$ для легких нейтронизбыточных фрагментов ${}^3\text{H}$, ${}^8\text{Li}$, нейтронодостаточного фрагмента ${}^7\text{Be}$ и тяжелых фраг-

ТАБЛИЦА I

Значения функции $f(\phi_F)$ мбн для некоторых фрагментов

Фрагмент	m_2	t_3	$f(\phi_F)_{MBN}$	Примечание
2H	2	0	100	$E = 0.157 \pm 0.19$ ГэВ
3H	3	+1/2	3.52 ± 0.8	$E_{min} = 0.45$ ГэВ
3He	3	-1/2	5.04 ± 1.0	$E_{min} = 0.19$ ГэВ
4He	4	0	40.0 ± 10.0	$E \geq 1.0$ ГэВ
6He	6	+1	0.13 ± 0.06	$E \geq 1.0$ ГэВ
7Be	7	-1/2	0.74 ± 0.20	$E_{min} = 0.4$ ГэВ
7Li	7	+1/2	0.77 ± 0.15	$E = 1.0$ ГэВ
9Li	9	+3/2	0.016 ± 0.04	$E = 2.8$ ГэВ
^{13}N	13	-1/2	0.08 ± 0.02	$E_{min} = 0.94$ ГэВ
^{17}N	17	+3/2	0.026 ± 0.007	$E = 2.8$ ГэВ
^{16}C	16	+2	0.023 ± 0.006	$E = 2.8$ ГэВ
^{18}F	18	0	0.20 ± 0.04	$E \geq 1.0$ ГэВ
^{22}Na	22	0	0.16 ± 0.02	$E \geq 1.0$ ГэВ
^{24}Na	24	+1	0.089 ± 0.011 0.105 ± 0.015	без A_g с A_g

ментов ^{18}F и ^{24}Na , показанные на рис. 1-7. Можно видеть, что формула /9/ позволяет оценивать сечения фрагментов в широком диапазоне энергий E . Для тех фрагментов и ядер-мишеней, для которых пока не существует подобных измерений функций возбуждения, в табл. 2 приведены экспериментальные и рассчитанные по формуле /9/ отношения сечений при различных энергиях E , вплоть до 300 ГэВ.

В табл. 3 даны отношения выходов зеркальных изобар - фрагментов, образующихся при бомбардировке различных легких и тяжелых ядер протонами. Величины

ТАБЛИЦА 2

Отношения сечений для ряда фрагментов при различных значениях энергии протонов E ГэВ

Фрагмент	Ядро-мишень	$\sigma(E_1)/\sigma(E_2)$ эксп.	$\sigma(E)/\sigma(E_2)$ расч.
3He	Cu Ag Pb	$E_1=0.94$ $E_2=1.84$	0.50 0.57 ± 20% 0.48
9Li	Ti Cu Ag La Pt W U	$E_1=1.0$ $E_2=2.8$	0.305 0.240 0.210 0.210 ± 25% 0.175 0.210 0.203
7Be	V ^{59}Co	$E_1=3.0; E_2=29.0$ $E_1=11.5; E_2=300.0$	0.69 ± 0.10 0.85 ± 0.12
^{16}C	Ti Cu Ag La Pt W U	$E_1=1.0$ $E_2=2.8$	0.328 0.211 0.160 ± 25% 0.144 0.160 0.118 0.170
^{13}N	V Zn Pb U Zn Y Pt U	$E_1=3.0; E_2=29.0$ $E_1=1.0$ $E_1=1.84$ $E_1=1.0$ $E_1=2.9$	0.62 ± 0.10 0.40 0.30 0.10 ± 15% 0.33 0.26 0.21 0.07 0.20
^{17}N	Ti Cu Ag La Pt W U	$E_1=1.0$ $E_1=2.8$	0.40 0.23 0.16 ± 25% 0.16 0.14 0.11 0.17

Экспериментальные данные взяты из /5/, /13/, /14/, /15/.

ТАБЛИЦА 3

Отношения сечений зеркальных изобар ($f(t_3) = f(-t_3)$)

Изобары	Ядро-мишень	E, ГэВ	Расчет	Эксперимент
P/n	Ag	5.0	0.387	0.361 ± 0.06
$^3H/He^3$	Al	0.6	1.19	1.18 ± 0.20
"	Fe	0.6	1.59	1.41 ± 0.30
"	Pb	0.6	6.69	6.10 ± 1.20
$^{10}B/^{8}Li$	Ag	5,7	0.14	0.1 - 0.3
$^7Li/^{7}Be$	Ag	"	3.02	3.90 ± 0.60
$^{10}B/^{8}Li$	U	"	0.04	0.06 ± 0.015
$^7Li/^{7}Be$	U	"	17.3	9.3
$^{11}B/^{11}C$	U	"	18.9	13.3

Таблица 4

Отношение сечений фрагментов из двух изотопов ядер-мишеней.

 $(E_p = 0.66 \text{ ГэВ})$

Фрагмент	$^{10}B/^{11}B/^{8}$		$^{58}Ni/^{64}Ni/^{7}$		$^{112}Sn/^{124}Sn/^{7}$	
	эксп.	расч.	эксп.	расч.	эксп.	расч.
1H	1.23 ± 0.04	0.95	-	-	-	-
2H	1.02 ± 0.04	0.96	1.14 ± 0.05	0.95	1.25 ± 0.13	0.95
3H	0.84 ± 0.04	0.80	0.66 ± 0.03	0.69	0.76 ± 0.06	0.61
3He	1.15 ± 0.03	1.17	1.52 ± 0.08	1.31	1.73 ± 0.17	1.49
4He	1.07 ± 0.02	0.98	1.17 ± 0.03	0.95	1.02 ± 0.05	0.97
6He	-	-	0.5 ± 0.1	0.49	~ 0.30	0.38
6Li	-	-	1.34 ± 0.13	0.98	1.26 ± 0.07	0.99
7Li	-	-	0.87 ± 0.12	0.70	0.64 ± 0.04	0.62
8Li	-	-	0.52 ± 0.10	0.49	0.35 ± 0.06	0.38
7Be	-	-	2.2 ± 0.5	1.40	-	-

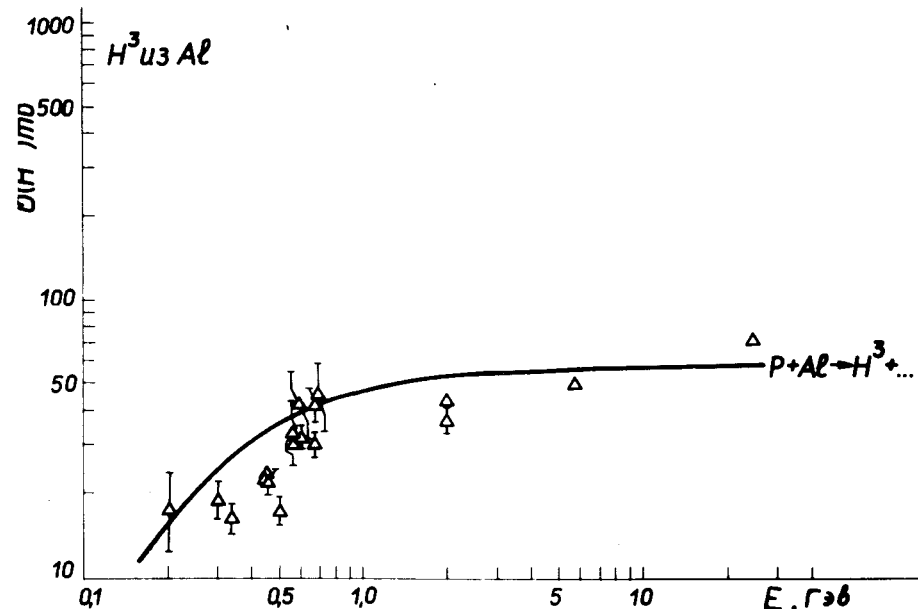


Рис. 1-7. Зависимость сечений образования фрагментов из различных ядер как функция энергии налетающих протонов. Экспериментальные точки взяты из работ /5,13-15/. Сплошные кривые - расчет по формуле /9/.

сечений взяты из эксперимента и рассчитаны по формуле /9/ в приближении равенства $f/\text{фр}/$ для зеркальных изобар ($f(+t_3) = f(-t_3)$). Сравнение экспериментальных и расчетных отношений сечений, приведенных в табл. 2 и 3, показывает, что формула /9/ пригодна для оценок этих отношений. Отметим при этом, что сечения выходов фрагментов, для которых приведены данные в табл. 2 и 3, лежат в диапазоне от единиц до сотен мбн.

В табл. 4 показаны результаты сопоставления отношений сечений фрагментов из разделенных изотопов-мишней с расчетом этих отношений по формуле /9/. В пределах точности эксперимента расчетные отношения, в основном, совпадают с экспериментальными, хотя имеются и отклонения, которые относятся к данным для фрагментов с $t_3 \leq 0$, для которых особенно велика разница в зна-

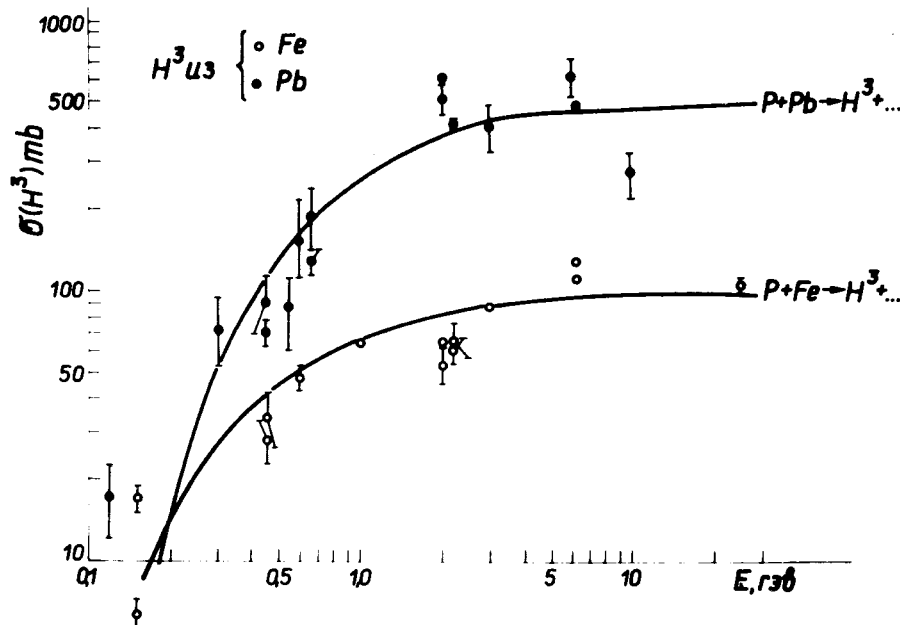


Рис. 2

чениях Q на крайних изотопах Ni и Sn /7/. Этого эффекта следовало ожидать, исходя из той схемы получения формулы /9/, которую мы использовали, несмотря на возможное выравнивание энергий отделения каскадным процессом.

Таким образом, значения параметров α и β , подобранные для фрагментов ^3H , ^7Be , ^{18}F и ядер-мишеней от Al до Pb, оказываются пригодными для оценок сечений большого числа фрагментов из ядер-мишеней от ^{10}B до U.

3. ЗАКЛЮЧЕНИЕ

Формула /9/ позволяет с достаточной для ее приложений точностью оценивать выходы испарительных нуклидов при бомбардировке ядер от ^{10}B до ^{238}U прото-

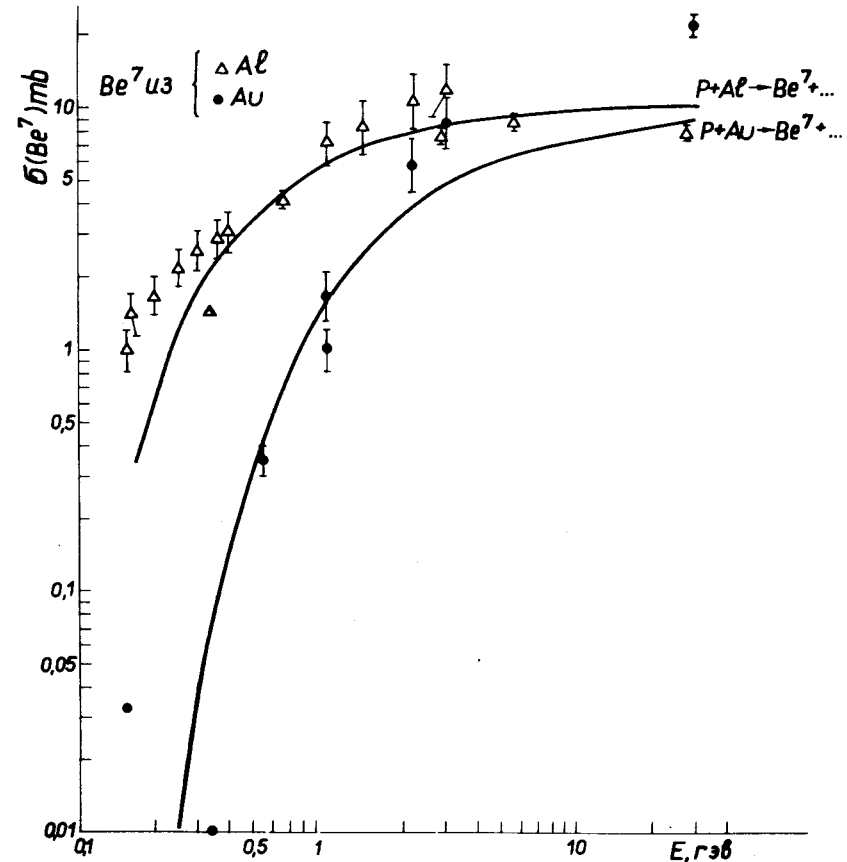


Рис. 3

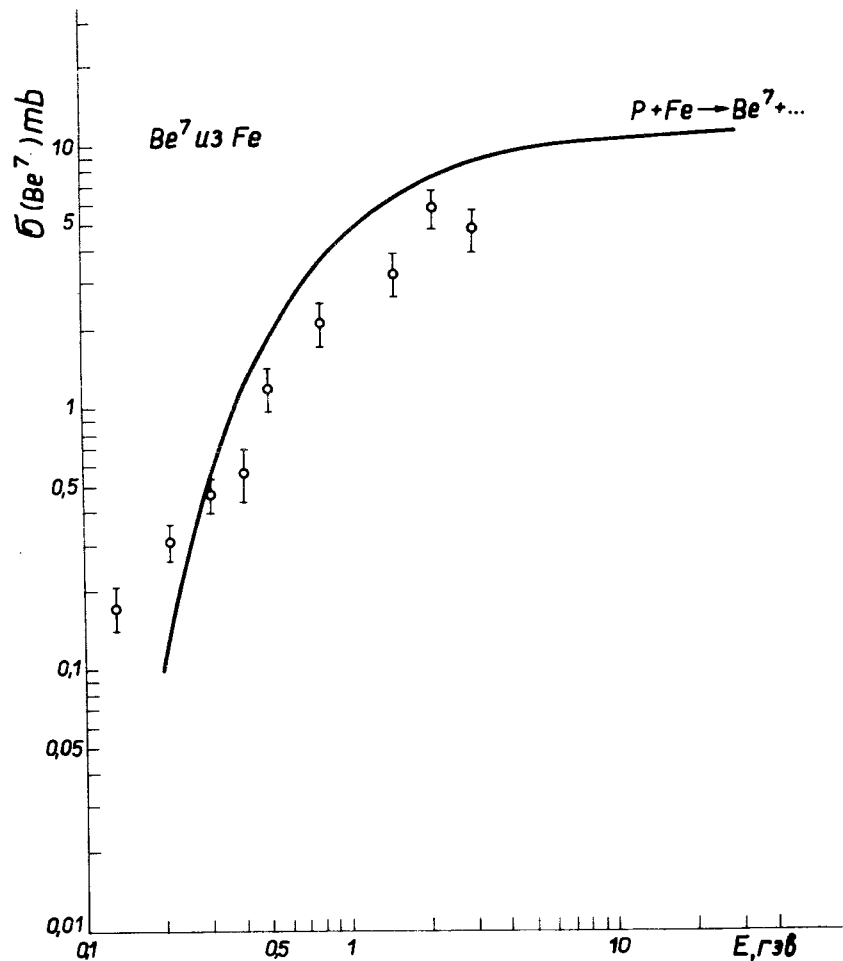


Рис. 4

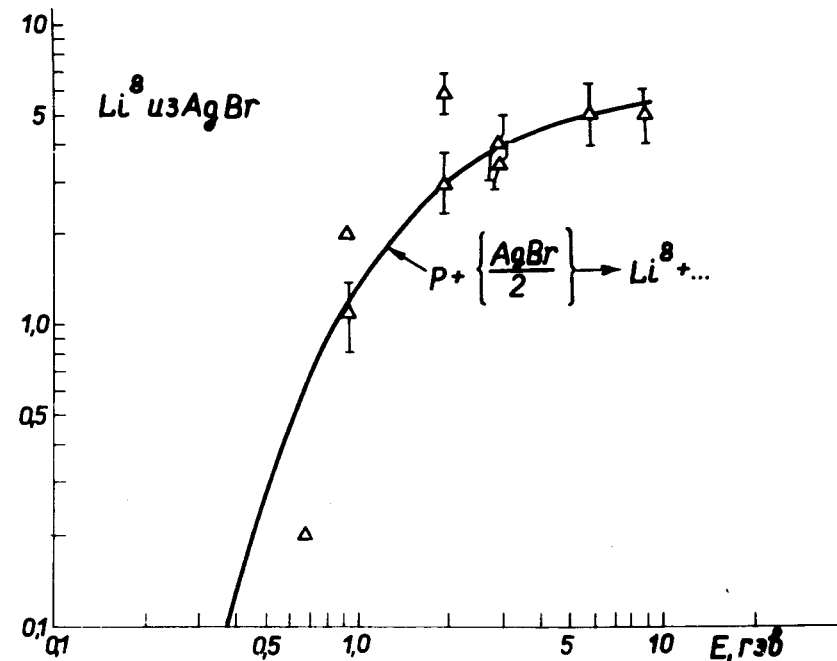


Рис. 5

нами с энергией от 0,2 до 300 ГэВ. Большой диапазон данных, описываемых формулой /9/, позволяет предположить, что эта формула не только является удобной записью зависимости сечения от числа нуклонов в ядре и фрагменте и энергии первичных протонов, но и содержит физическую информацию о процессе фрагментации. По-видимому, независимость $\sigma/\text{фр}/$ в пределах точности экспериментальных данных по сечениям фрагментации, которые были нам доступны для анализа, от характеристик, отличающихся от A , T_3 и r_0 , может служить указанием на то, что процесс фрагментации сопровождается сильной перестройкой ядра. Таким образом, изучение сечений образования "медленных" фрагментов может дать информацию о релаксационных явлениях в сильно-возбужденных нуклонных системах, особенно при энергиях пучка протонов ниже 1 ГэВ, где отклонения параметра

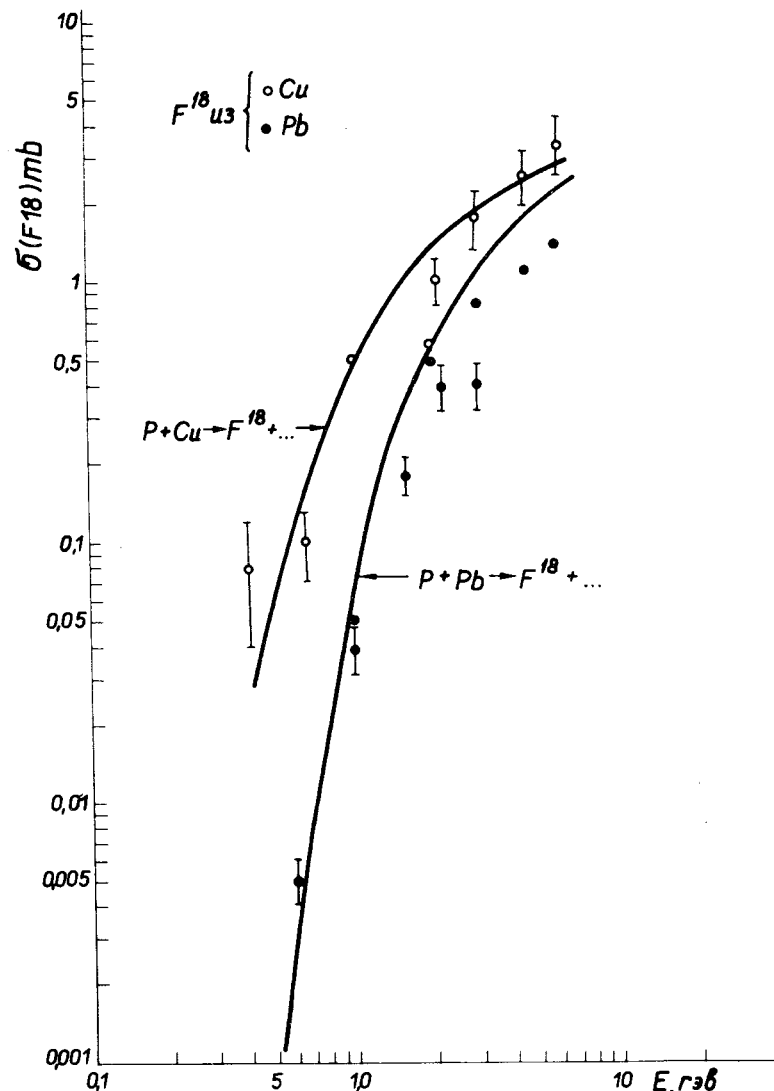


Рис. 6

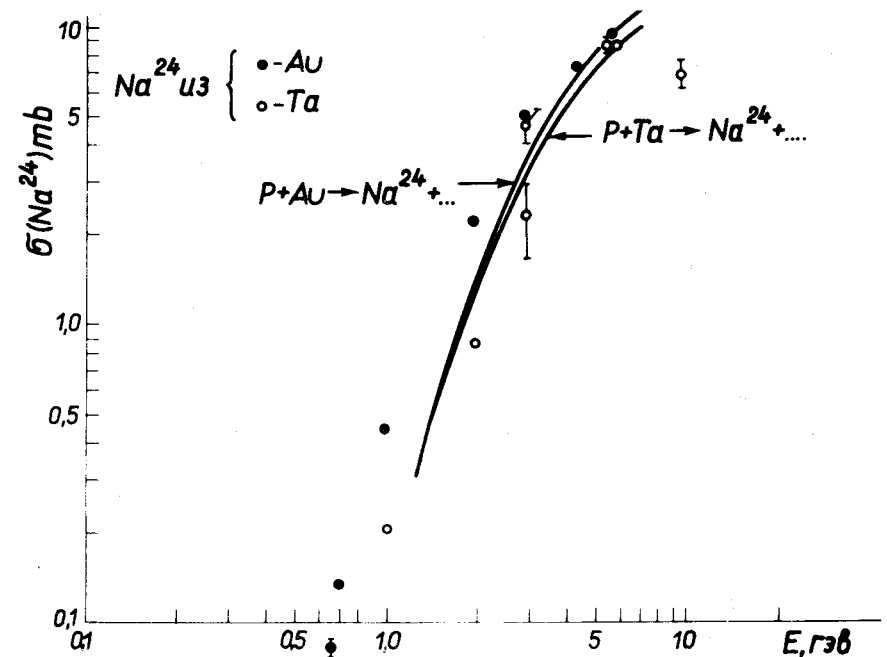


Рис. 7

θ от предсказываемых каскадно-испарительной теорией температур ядра особенно велики /4,5,9/. Что касается изучения структуры ядра, то, по-видимому, эксперименты по квазиупругому выбиванию фрагментов дают более непосредственную информацию, чем измерения полных сечений фрагментации. Из приведенных на рис. 1-7 и в табл. 2-4 данных видно, что для того, чтобы уловить более тонкие детали поведения $\sigma/\text{фр}/$, чем те, которые описываются формулой /9/, необходимо существенно повысить точность измерения функций возбуждения одновременно для большого числа легких и тяжелых фрагментов, используя, например, технику $\Delta E - E - \bar{E}$ телескопов /7/.

При малой точности измерений даже изучение деталей спектров фрагментов не может гарантировать извлечения надежной информации о структуре тяжелых ядер. В виде примера укажем на то, что такие эффекты,

как некоторое различие спектров фрагментов, образованных на мишенях-изотопах одного элемента^{/7/}, и различие спектров фрагментов-изотопов одного элемента, образованных из одного ядра-мишени, могут быть на качественном уровне поняты, если учесть в формуле /3/ второе приближение, приводящее к зависимости k^+ от ϵ .

Авторы выражают признательность Н.А.Перфилову за интерес к данной работе, В.К.Лукьяннову, В.Д.Тонееву, Ю.А.Батусову - за полезные обсуждения, замечания и советы, участникам семинара Ленинградского университета /6-7 июня 1974 г./ по изучению свойств ядерной поверхности методами высоких энергий, на котором эта работа была доложена, за внимание.

Литература

1. Y.Fujimoto, Y.Yamaguchi. *Progr.Theor.Phys.*, 5, 76 (1950).
2. Е.Л.Григорьев и др. ЯФ, 2, 97 /1965/.
3. В.В.Авдейчиков и др. Препринт ОИЯИ, Р-2093, Дубна, 1965.
4. О.В.Ложкин, Н.А.Перфилов: В сб. "Ядерная химия", изд-во "Наука", М., 1965.
5. В.С.Барашенков, В.Д.Тонеев. "Взаимодействие высокозергетических частиц и ядер с ядрами", М., Атомиздат, 1972.
6. G.Rudstrom. *Th.D.Thesis, Uppsala* (1956).
7. В.И.Богатин и др. ЯФ, 19, 32 /1974/.
8. В.В.Авдейчиков и др. Сообщение ОИЯИ, 1-7894, 1974.
9. О.В.Ложкин, Ю.П.Яковлев. Изв. АН СССР, 31, 315 /1967/.
10. Е.Л.Григорьев и др. ЯФ, 6, 696 /1967/.
11. О.Бор, Б.Моттельсон. *Структура атомного ядра*, т. 1, изд-во "Мир", М., 1971.
12. Л.Элтон. *Размеры ядер*. М., ИЛ., 1962.
13. Ф.П.Денисов, В.Н.Мехедов. *Ядерные реакции при высоких энергиях*, М., Атомиздат, 1972.
14. L.Husain, S.Katcoff. *Phys.Rev.*, C7, 2452 (1973).
15. S.Katcoff et al. *Phys.Rev.Lett.*, 30, 1221 (1973).
16. R.G.Korteling et al. *Phys.Rev.*, C7, 1611 (1974).

Рукопись поступила в издательский отдел
18 ноября 1974 года.